

A-9
Berichte des Technischen Prüfstandes Oppau

Bericht Nr. 451

**Temperatureinflüsse
beim Betrieb von Flugmotoren
nach dem Ringverfahren**

8423



**I. G. FARBENINDUSTRIE AKTIENGESELLSCHAFT
LUDWIGSHAFEN AM RHEIN**

Leib

Bericht des Technischen Prüfstandes Oppau

Nr. 451

Temperatureinflüsse beim Betrieb von Flugmotoren nach dem Ringverfahren.

Übersicht: Die Versuche ergaben, dass ein Betrieb mit verhältnismässig niedrigen Zylinder- und Ansauglufttemperaturen möglich ist. Mindestwerte: BMW 132 N: 120° Zylindertemperatur, 20° Ansaugluft, Jumo 211: 30° Kühlwassertemperatur, 20° Ansaugluft, bei Vollast allerdings ohne brauchbare Leistung.

Niedrige Ansauglufttemperaturen ergeben bis zur Halbblast herab bessere Leistungen (Steigerung der Höchstlast um 10-15%). Auch niedrige Zylindertemperaturen ergeben im Vollastgebiet höhere Leistung, im Teillastgebiet jedoch früheren Leistungsabfall. Niedrige Temperaturen sind im Vollastgebiet von geringem Einfluss auf den Verbrauch, im mageren Bereich ergeben kalte Luft und kalte Zylinder hohe Verbräuche.

Bestwerte: BMW: 80° Ansaugluft, 210° Zylindertemperatur.
Jumo: 50° Ansaugluft, 50° Kühlwassertemperatur bis Halbblast, von Ca bis Leerlauf 80° Ansauglufttemperatur.

Beste Schmieröltemperatur 90° gegenüber den ebenfalls untersuchten Temperaturen von 60 und 80°.

Abgeschlossen am: 3. April 1941

Bearbeiter:

Dipl. Ing. Leib

Leib

Die vorliegende Ausfertigung 21 enthält

8 Textblätter

12 Bildblätter

Verteiler

Nr.	am	Empfänger	Nr.	am	Empfänger
1		Argus, Berlin, Dr. Christian,	11		Luftkriegsakademie Ostow,
2		BMW, München, Dr. Löhner,			Prof. Dr. Helfelder,
3		BMW, Spandau, Dr. Stieglitz,	12		RLM, GL 5/II, P. I. Keilpflug,
4		DB., Stuttgart, Dr. Schmidt,	13		RLM, Abt. LC 3, Dr. Stiebling,
5		DVL, Dipl. Ing. Caroselli,	14		RLM, Abt. LC 1, D. I. Gebhardt,
6		DVL, Dr. v. Philippovich,	15		TH. Berlin, Prof. Dr. Triebnigg,
7		E' stolle Reehling, D. I. Lange,	16		TH. Dresden, Prof. Dr. Pauer,
8		Hirth, Stuttgart, Dr. Bentele,	17		Dir. Dr. Müller-Gunradi,
9		Junkers, Dessau, Dr. Gerlach,	18		Dipl. Ing. Penzig,
10		Junkers, Dessau, Dr. Lichte	19		Techn. Prüfstand,
			20		Dipl. Ing. Kufmann, Dr. J. Schürger,
			21		Museumsdirektor

8429

Zweck der Versuche.

Es war am Zylinder-Prüfstand an einem luftgekühlten und einem Flüssigkeitsgekühlten Baumuster der Einfluss der Temperaturen von Ansaugluft, Zylinder bezw. Kühlwasser und Schmieröl auf Leistung und Verbrauch zu untersuchen und deren günstigste Einstellung festzustellen.

Durchführung der Versuche.

Die Versuche wurden am I.G.-Versuchsotor, jeweils versehen mit einem BE-Zylinder 132 R und einem Junker-Zylinder 211 A durchgeführt. Im letzten dieser waren in früheren Versuchen als für den Ringbetrieb die günstigsten festgestellt worden. Die Lage der Dichtung und die Temperatur der Dichtung beim BE-Zylinder ist aus Blatt 1 zu ersehen. Die jeweilige Anordnung der R-Stoffeisen, sowie die Betriebsbedingungen sind in Tafel 1 angegeben. Auf Tafel 2 (Seite 3) sind alle Versuche in der zeitlichen Reihenfolge aufgeführt. Es daraus zu ersehen ist, wurden die Versuche an beiden Zylindern mit verschiedenem R-Stoffverbrauch durchgeführt, doch spielt dies für das Gemisch keine Rolle, da die jeweils zusammengehörigen Versuchsergebnisse bei gleichem R-Stoffverbrauch je Kubikmeter Luft zu vergleichen sind.

Tafel

Seite 3

Vorbereitung der Versuche.

1.) BMW-Zylinder.

Es wurden hier zunächst bei festgesetzter Zylinder-temperatur von 220° je eine Verdichtungs-kurve bei 80° , 50° und 20° Ansaugluft gefahren (Blatt 2). Wie aus den Kurven ersichtlich ist, ergibt der Betrieb mit 30° Ansaugluft über den ganzen Bereich etwa um 5-8% bessere Leistung als derjenige mit 50° Ansaugluft, während eine Lufttemperatur von 20° C im fetten Gebiet bis etwa $2/3$ Last noch ebenfalls etwas größere Leistung ergibt, dafür aber im mageren Gebiet ein steileres Abfallen der Leistung und somit ein schnelleres Sinken des Verbrauches zur Folge hat. Die Abweichung nach dem unrichtigen liegt jedoch, besonders im mageren Gebiet, die Leistungskurve, die bei diesem Betrieb mit 50° Ansaugluft erhalten wurde.

In einer zweiten Versuchsreihe wurde nun der Staudruck der Kühlluft fest ein gestellt (200 mm Hg), sodass mit steigendem Luftüberschuss der Zylinder-Kühler wurde. Die Ergebnisse, die mit den 3 Basislufttemperaturen jetzt erreicht wurden, sind auf Blatt 3 dargestellt. Im fetten Gebiet erhöht die Leistungssteigerung durch höhere Ansaugluft ausserordentlich die Erreichung dieser Höhe in der oberen Zylinder-temperatur von 175° (gegenüber 210° vorher) zu einem Grade, wodurch die mittlere Ausdehnung des Gasgemisches beträchtlich ansteigt wie. Der Leistungsgewinn beträgt bei Vollast mit 30° Ansauglufttemperatur 5% und bei 20° Ansaugluft 8% gegenüber 50° . Dabei sinkt aber die Leistung schon bei $1/3$ Last unter die 50° Kurve und bei einem Luftüberschuss von 1,6 ist für 20° noch mehr als für 30° Ansauglufttemperatur keine Kurve mehr zu ziehen, wobei die Zylinder-temperatur auf 120° C gesunken ist. Die Verbräuche liegen im fetten Gebiet auf etwa gleicher Höhe wie bei den Versuchen mit fest ein- gestellter Zylinder-temperatur. Sie erreichen aber nicht die Mindestwerte der Versuche mit geregelter Kühlung.

In Tafel 2 sind für alle Versuche bei gleichen Luftüberschüssen die Leistungen mit den verschiedenen Verbrennungsstufen angegeben. (Die

werte sind nicht bei Vollast, sondern bei einem $\lambda = 1,1$ genommen, um Unregelmäßigkeiten des Kurvenverlaufes durch Maximaüberschiebung möglichst auszuschalten. Daneben sind in weiteren Spalten die Zunahmen von Leistung und Ladeluftmenge in Vergleich zu den jeweilig niedrigsten Wert bei 50°C aufgestellt. Vergleicht man Blatt 2 und die Werte in der Tafel (vgl. 1, 2 und 3), so findet man bei Höchstlast fast keine Unterschiede in der Leistung, und ebenso auch bei $\lambda = 1,1$ keine mit dem Anstieg der verbrauchten Luftmenge vergleichbare Leistungssteigerung, während bei den nachfolgenden Versuchen (11, 13 und 12) die Leistungs- und Verbrauchsunterschiede sich fast in derselben Größenordnung belegen, sodass man schließen kann, dass die Verbrennung des Gemisches hier bei allen Lufttemperaturen gleich gut ist, während vorher die Zylinderkammer-temperatur zu hoch lag, sodass im kalten Gebiet die Verbrennung unregelmäßig verlief. Die Leistungssteigerung bei niedrigen Lufttemperaturen erklärt sich aus der besseren gleichmäßigen Aufladung des Zylinders.

Auf Blatt 4 sind für beide Versuchsreihen die Leistungen über dem Verdrücker aufgetragen. Man sieht hier noch einmal, dass der Einfluss der Lufttemperatur bei dem kleineren Zylinder noch stärkere Wirkung als die Ansauglufttemperatur hat, wodurch eine besondere Leistungssteigerung mit halber Ansaugluft eintritt.

Lufttemperaturen und Vereinspritzwinkel für K-Stoff hatten bei beiden Versuchsreihen etwa denselben Verlauf und zeigten keinen einseitigen Gang mit der Temperatur.

4.) Zweiter Zylinder.

Die entsprechenden Versuche wurden zuerst am 31er-Zylinder mit diesen Zylinderkammer-temperaturen gemacht, hier bei 50°C Kühlwassertemperatur je ein Versuch mit 30° , 50° und 70°C Ansauglufttemperatur durchgeführt. Wie aus Blatt 5 ersichtlich ist, ergibt diese Ansaugluft von 50°C eine Steigerung des Verbrauchs um 12% gegenüber 30°C . Diese Leistungssteigerung bleibt an

nähernd bis zu einem Luftüberschuss von 1,75 erhalten. Auch die Herabsetzung der Lufttemperatur auf 20° ergibt Mehrleistung im fetten Gebiet (s. unten, ebenfalls um etwa 16% bei $\lambda = 1$), dafür aber infolge schlechterer Fortrennung früheres Abfallen der Leistung (bei $\lambda = 1,5$) unter der mit 30° Lufttemperatur erzielten Leistungskurve. Vergleicht man auch hier wieder die durchgesetzten Luftmengen auf Tafel 2 mit der Leistungsumnahme, so findet man, dass die Mehrleistung ebenso wie beim H₂O-Zylinder durch bessere Füllung des Zylinders erreicht wurde.

Für beide Motormuster gilt also:

„Mehrfachste Leistung im fetten Gebiet bei niedrigen Ansauglufttemperaturen. Geringer Verbrauch und langsames abfallende Leistung im mageren Gebiet (von $\lambda = 1,5$ bis ∞) bei hoher Lufttemperatur.

In einer weiteren Versuchreihe wurde nun die Kühlwassertemperatur auf 55° C gesetzt und mit den gleichen Ansauglufttemperaturen (80° , 50° und 20°) gefahren. Die erhaltenen Kurven (auf Blatt 6) sind nun über den gleichen Verlauf wie bei 30° Kühlwassertemperatur (Blatt 5), jedoch werden nicht mehr die betrübte niedrige Verdichtungsleistung erreicht.

Die Ergebnisse der nachfolgenden Versuche mit 30° Kühlwassertemperatur zeigt Blatt 7. Es wurden hier nur im unvollkommenen Bereich bei 30° und 20° Ansaugluft die selbe Verdichtungskurve gefahren. Die Höchstleistungsabnahme ist bei kalter Ansaugluft beträchtlich (10,5%) infolge unvollkommener Verbrennung im Zylinder, wie aus der Auspufftemperatur ersichtlich, tritt Nachverbrennung in Auslassrohr ein. Der Verbrauch erreicht hier einen Höchstwert von 2100 kcal/PS h gegenüber 2000 kcal/PS h bei 30° Luft- und 20° Kühlwassertemperatur. Interessant ist nun bei den letzten 5 Versuchen der Vergleich zwischen Leistung und verbrauchte Verbrennungsluft (Mitteltafel 2). Obwohl bei der Kühlwassertemperatur von 30° der Leistungszuwachs mit dem Mehrverbrauch der Luft fast genau überein, so nimmt infolge bei 55° Kühlwassertemperatur die Leistung bei

kalter Ansaugluft nur um 7,2%, die Ansaugluftmenge dagegen wie vorhin um 17% zu, d.h., die Verbrennung ist hier schon etwas schlechter geworden. Noch krasser tritt dies bei den zuletzt behandelten Versuchen hervor, bei denen die Leistung trotz Zunahme der zugeführten Verbrennungsluft um 5,3% nicht nur nicht ansteigt, sondern um ~ 6,5% abnimmt.

Auf den Blättern 8, 9 und 10 sind die Versuche mit gleicher Ansauglufttemperatur noch einmal zusammengestellt. Aus dem Vergleich beider Darstellungsarten lässt sich erkennen, dass bei hoher Lufttemperatur eine Veränderung der Kühlwassertemperatur von geringem Einfluss ist, während eine Änderung der Nabellufttemperatur stärkere Leistungsunterschiede zur Folge hat (Blatt 5). Sind jedoch die Verbrennungsbedingungen durch niedere Wasser- bzw. Lufttemperatur an sich schon beeinträchtigt, so macht sich jede Veränderung, sei es vom Kühlwasser oder der Luft herführend, besonders stark bemerkbar (Blatt 7 und 10).

Die Voreinspritzwinkel liegen bei einem etwas höher als beim BMW-Zylinder. Doch ist auch hier kein eindeutiger Zusammenhang mit der Temperatur festzustellen. Bei hohen Temperaturen trat zwischen $\lambda = 1,0$ und $1,5$ mit grossem Voreinspritzwinkel leichtes Klopfen auf, sodass in diesem Gebiet ein Zurückstellen der Voreinspritzung notwendig war (vgl. Blatt 5 und 6). Für sämtliche Versuche sind auf Blatt 11 die Leistungen über dem Verdichtungsdruck gezeichnet.

Einfluss der Schmieröltemperatur.

Die Versuche wurden an einem anderen Prüfstand unter anderem aus rein praktischen Gründen geführt und sind deshalb mit den vorigen Versuchen nicht unmittelbar vergleichbar (s. Zahlentafel 1 und 2). Die Nabelluft wurde hier unter einem Druck von 80 mm Hg. geleitet, sodass höhere Belastungen erzielt wurden, es wurden bei gleichem Kühlwasser und Nabellufttemperatur je ein Versuch bei 60°, 80° und 90° Schmieröltemperatur durchgeführt. Die Ergebnisse sind auf Blatt 12 aufgeschrieben. Es ist zu

ersehen, dass mit höherer Öltemperatur etwas bessere Leistungen erzielt wurden. Der Verbrauch ist dadurch im mageren Gebiet geringer. Bei einem Luftüberschuss von 2,0 beträgt die Verringerung des Verbrauchs bei 80° Öltemperatur etwa 10, gegenüber 60°, bei 90° Öltemperatur 14,9, die Voreinspritzwinkel liegen für die drei Versuche gleich.

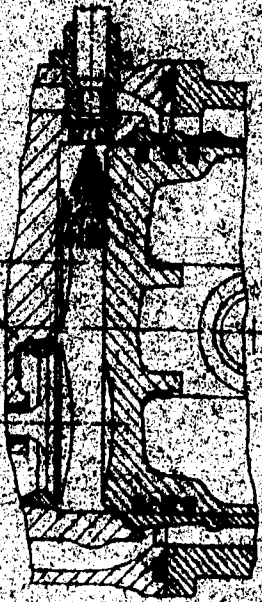
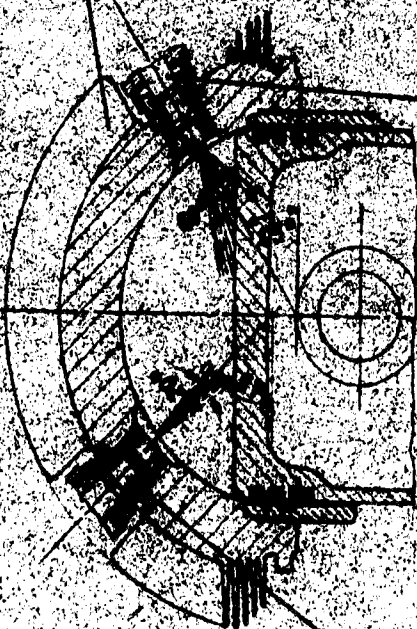
Tafel 2. Versuchsplan

Versuchs- nr.	Motor	Temperaturen			Kühlluft- Staudruck m/m WS	R-Stoff Menge m ³ /Hub	Luft		Leistung		Ergebnis
		Zylin- der °C	Kühl- wasser °C	Ansaug- luft °C			Schmieröl °C	Luft - verbrauch kg/h	Zunahme d. Luftmenge %	W _{me} bei λ=1,1 at	
12	BMW 132 N	210	-	80	berechnet	32	171,5	∅	8,3	∅	2 und 4
13	Versuchs- motor 1	210	-	50	"	32	184,1	7,35	8,6	3,6	4
14	"	210	-	20	"	32	195,8	14,2	8,8	6	3 und 4
15	mit dem Luftüber- schuss	-	-	20	200	38	173,8	∅	8,1	∅	4
16	abnehmend	-	-	50	200	38	184	5,6	8,8	8,6	4
17	"	-	-	80	200	38	192,8	11	9,1	11,1	4
18	Jumo 211A	-	80	80	-	20	182	∅	8,5	0	5
19	Versuchs- motor 1	-	80	50	-	20	205	12,6	9,8	14,7	5
20	"	-	80	20	-	20	214	17,6	10,1	18,8	6
21	"	-	55	80	-	20	183,5	∅	9	0	6
22	"	-	55	50	-	20	199	9,45	9,4	4,5	6
23	"	-	55	20	-	20	214,5	17	9,7	7,2	7
24	"	-	30	50	-	20	204,5	0	9,3	∅	7
25	"	-	30	20	-	20	215,5	5,3	8,7	-6,5	7
26	Jumo 211A	-	80	80	-	22	-	-	-	-	12
27	Versuchs- motor 2	-	80	80	-	22	-	-	-	-	12
28	"	-	80	80	-	22	-	-	-	-	12

schwerer Prüfstand
Oben

Düsenanordnung
A: am BMW 132N

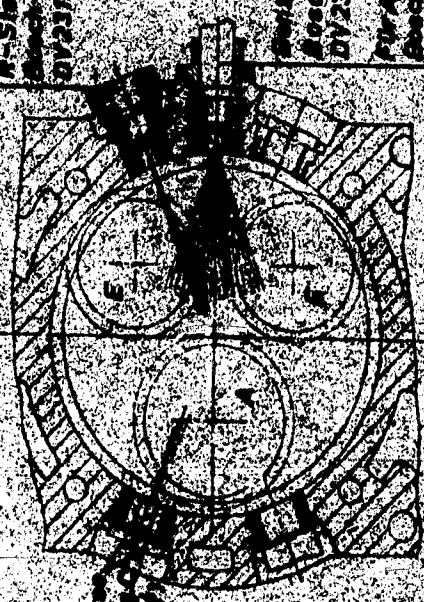
B: am Jumo 211A



Benzin
R-Stoff:
Benzol-Düse
D.V. 2312/2 (205)

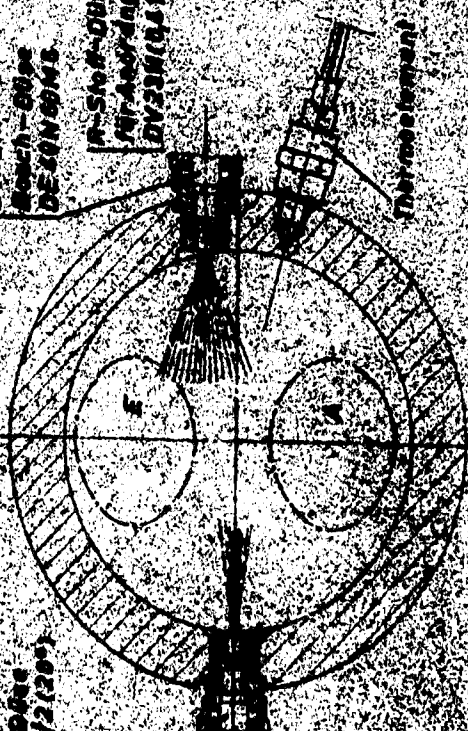
R-Stoff:
Benzol-Düse
D.V. 2312/2 (205)

R-Stoff:
Benzol-Düse
D.V. 2311 (045)



R-Stoff-Düse
für Anordng. C
D.V. 2312/4 (15)

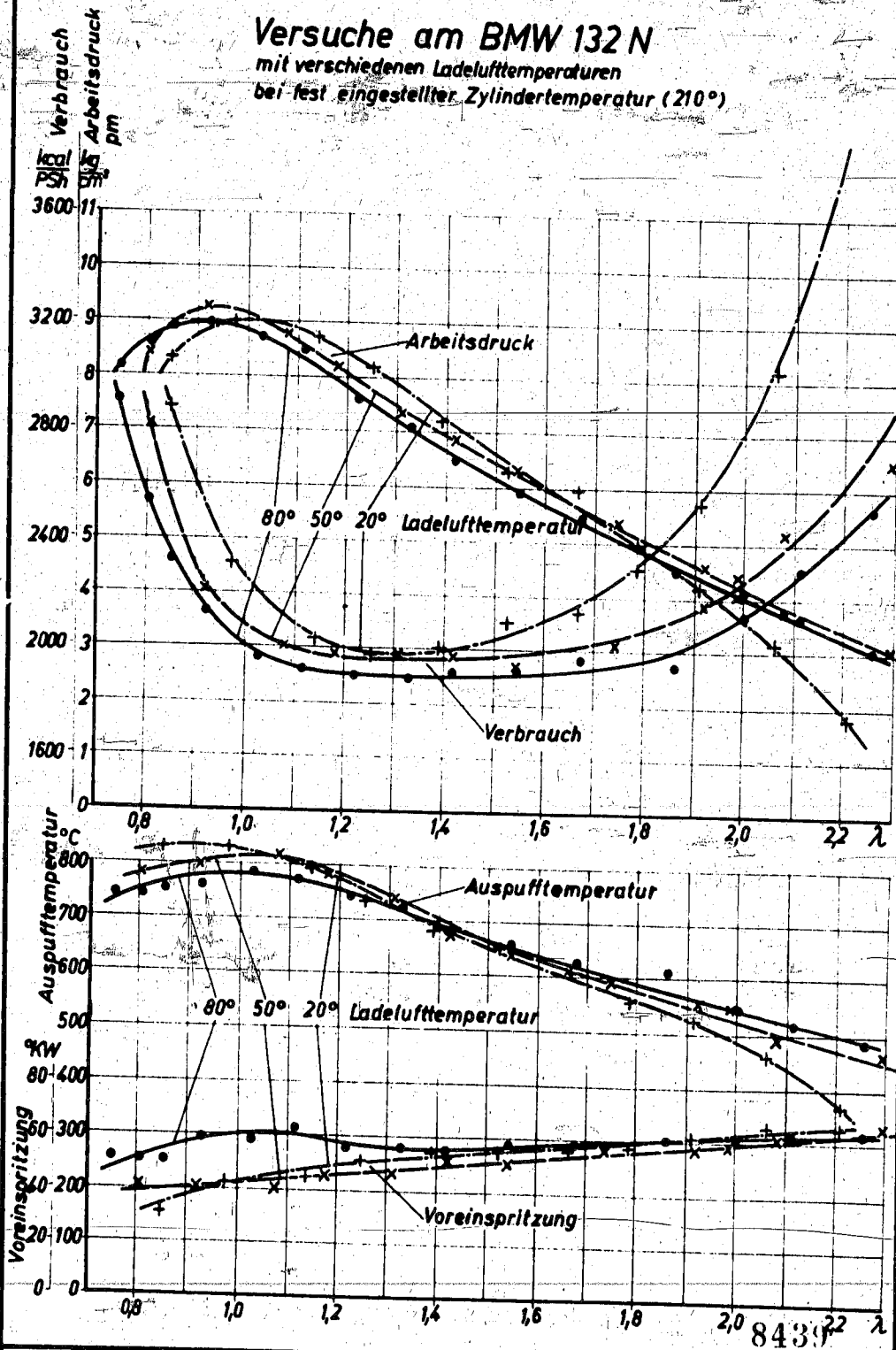
Benzin
Benzol-Düse
D.V. 2312/4 (15)
Für Anordng. C
Benzol-Düse
D.V. 2312/4 (15)



Thermoelement

8438

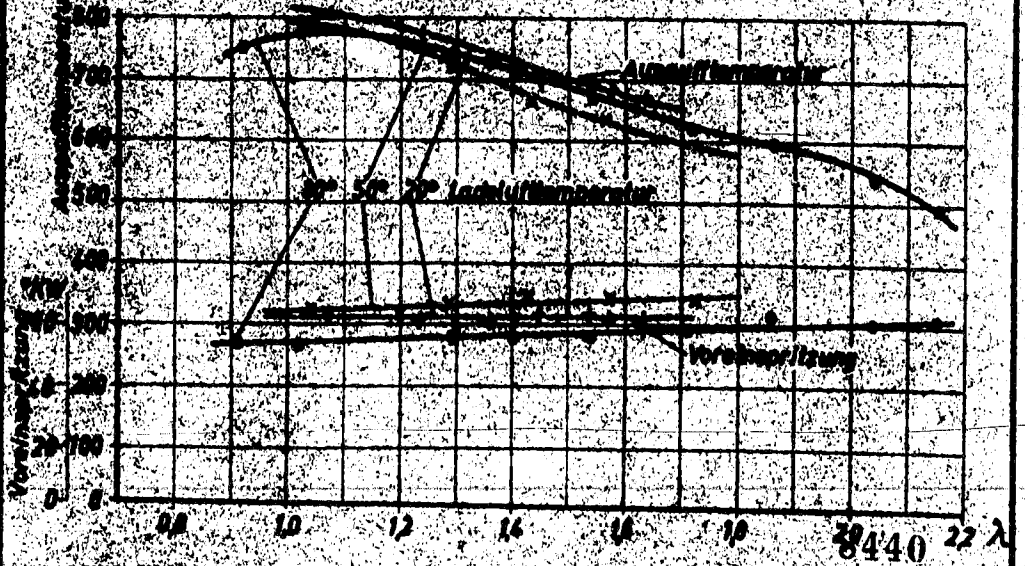
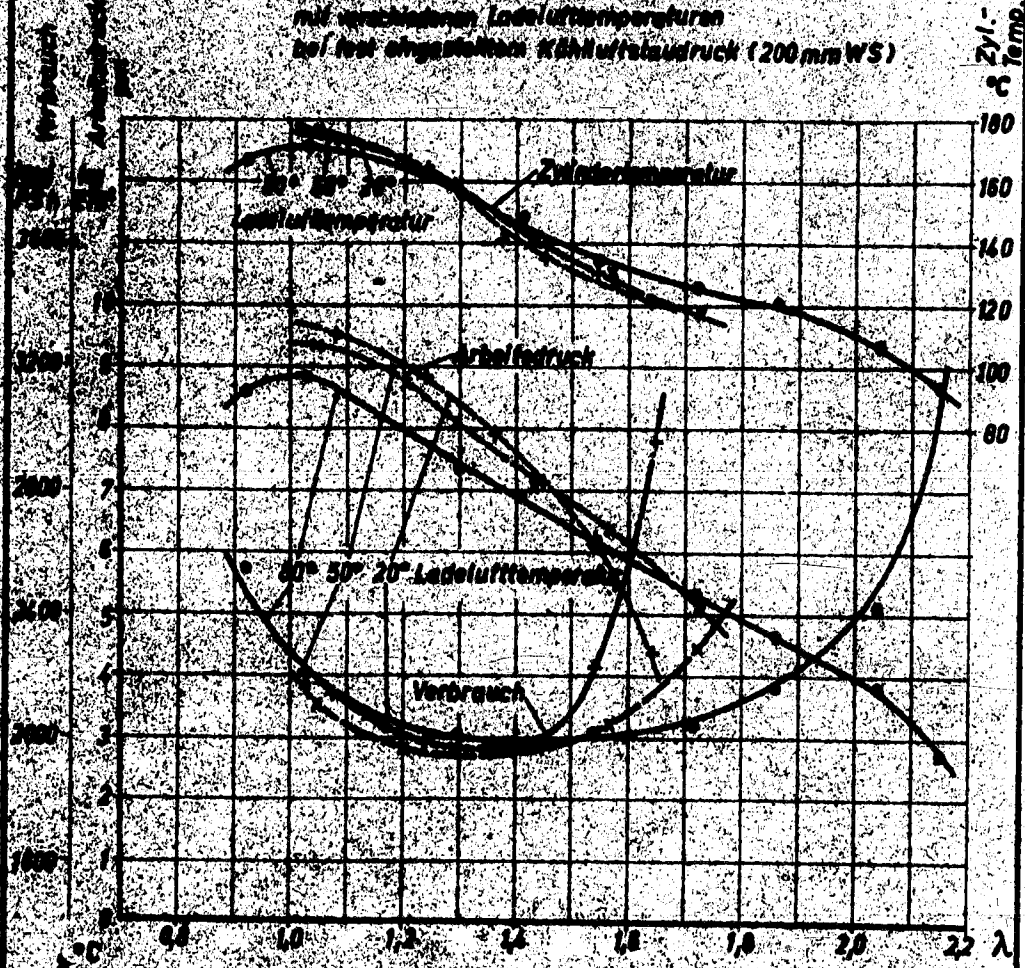
Versuche am BMW 132 N
mit verschiedenen Ladelufttemperaturen
bei fest eingestellter Zylindertemperatur (210°)



8439

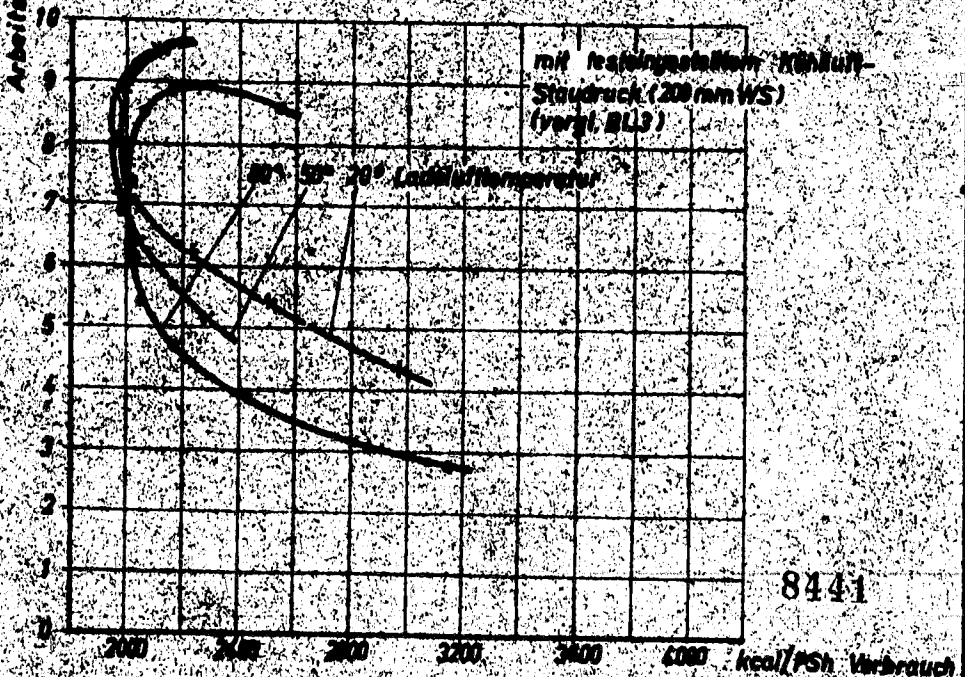
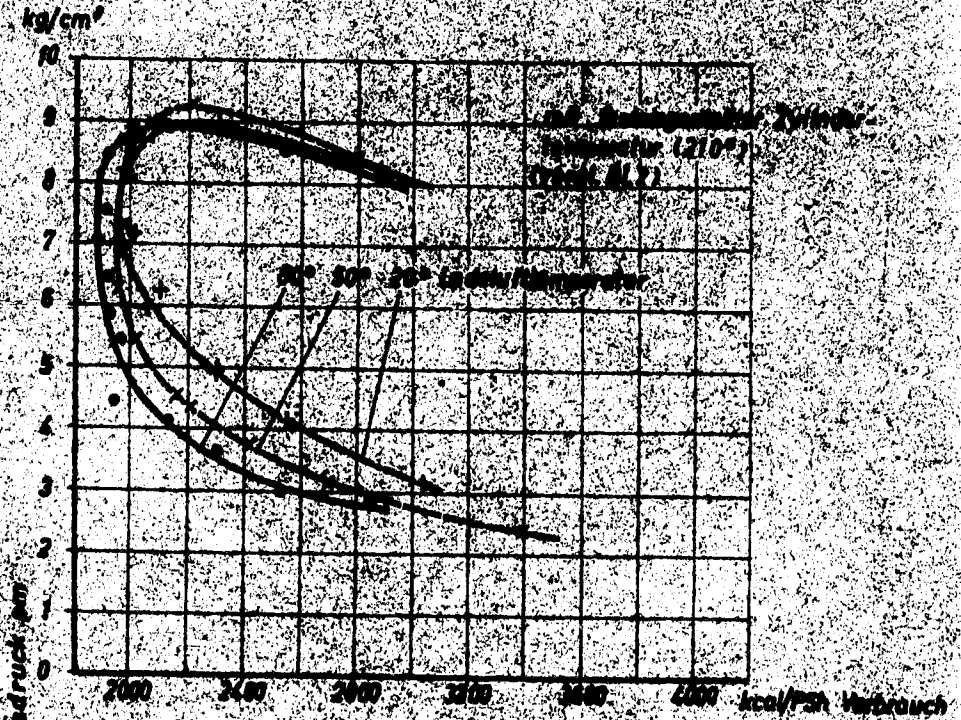
Versuche am BMW 132 N

mit verschiedenen Ladelufttemperaturen
bei fest abgestimmtem Kältefließdruck (200 mm WS)



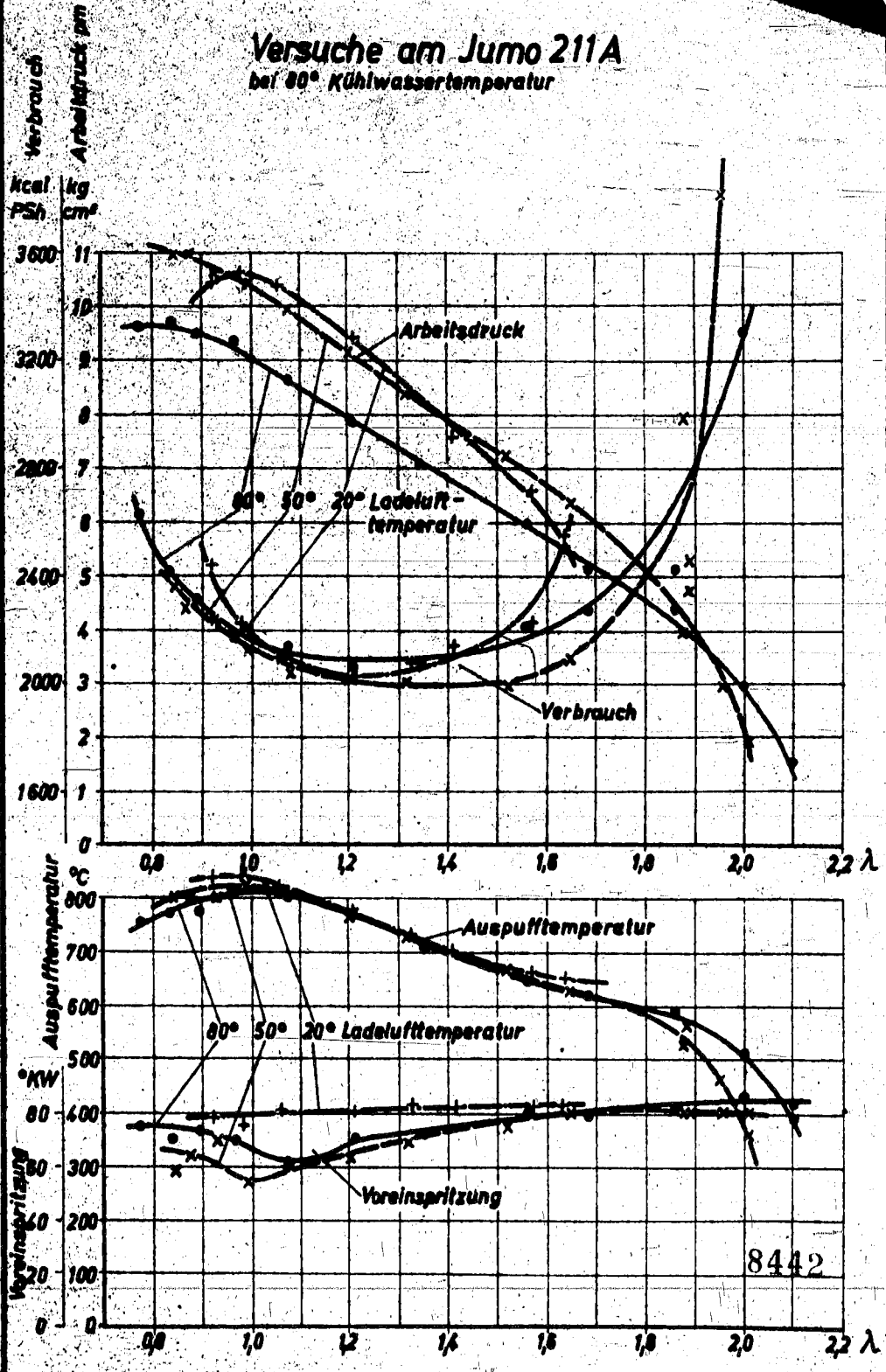
Versuche am BMW 132 N

Verbrauchsmessung



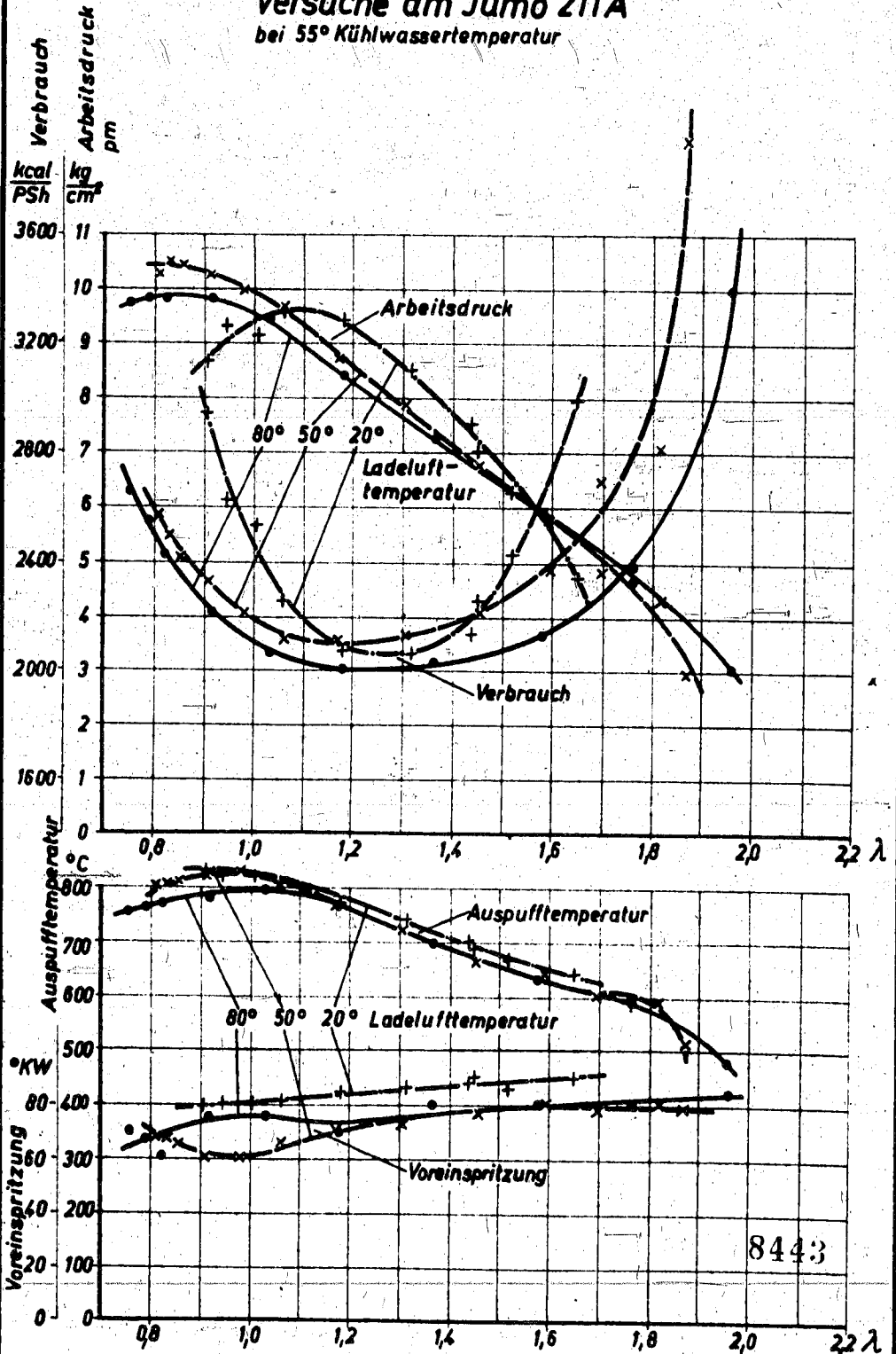
8441

Versuche am Jumo 211A
bei 80° Kühlwassertemperatur



8442

Versuche am Jumo 211A
bei 55° Kühlwassertemperatur

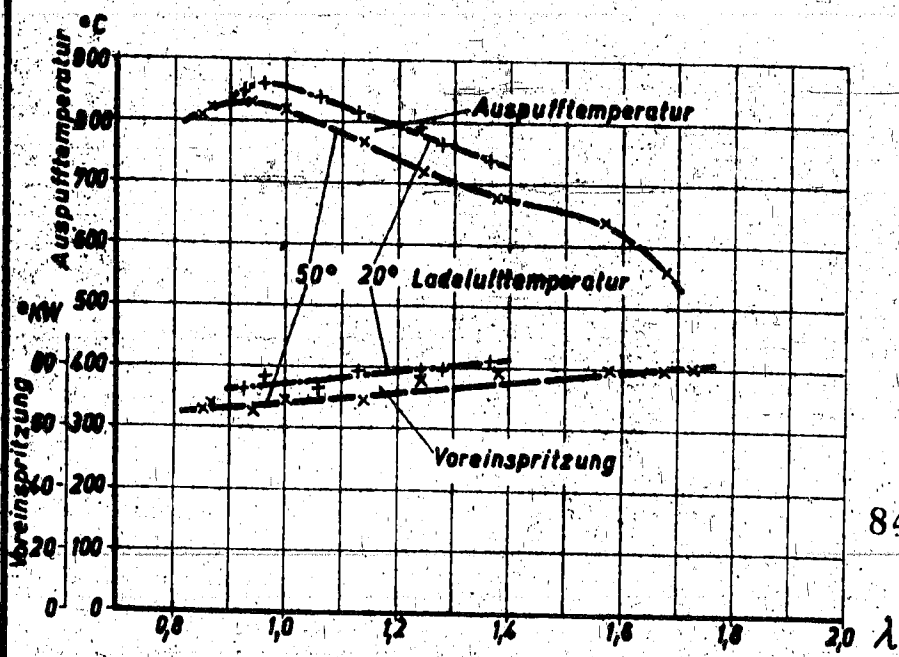
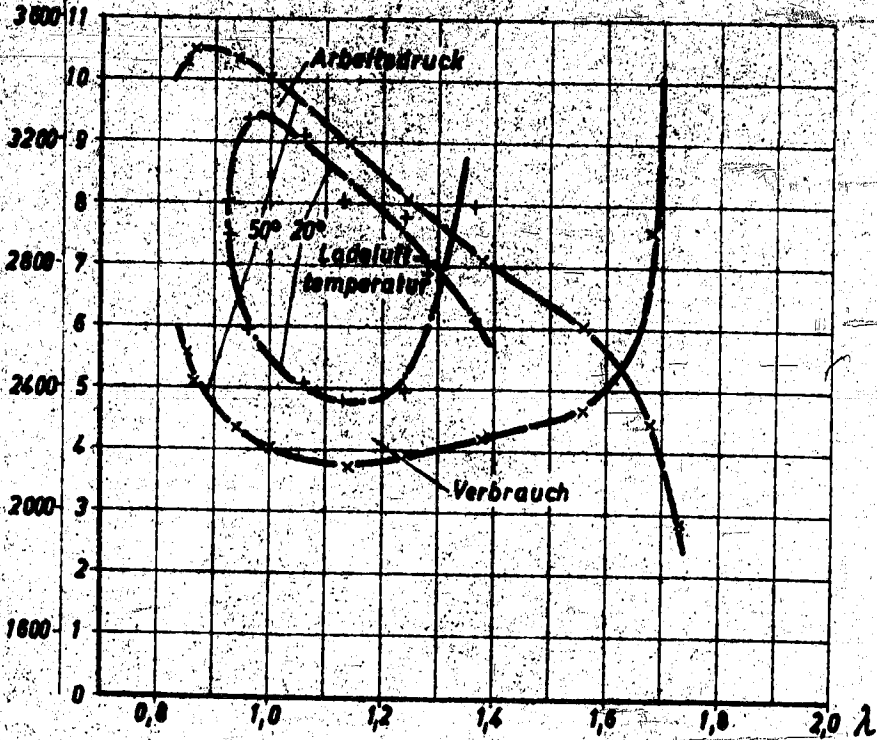


8443

Versuche am Jumo 211A
bei 30° Kühlwassertemperatur

Verbrauch
kcal
PSh cm³

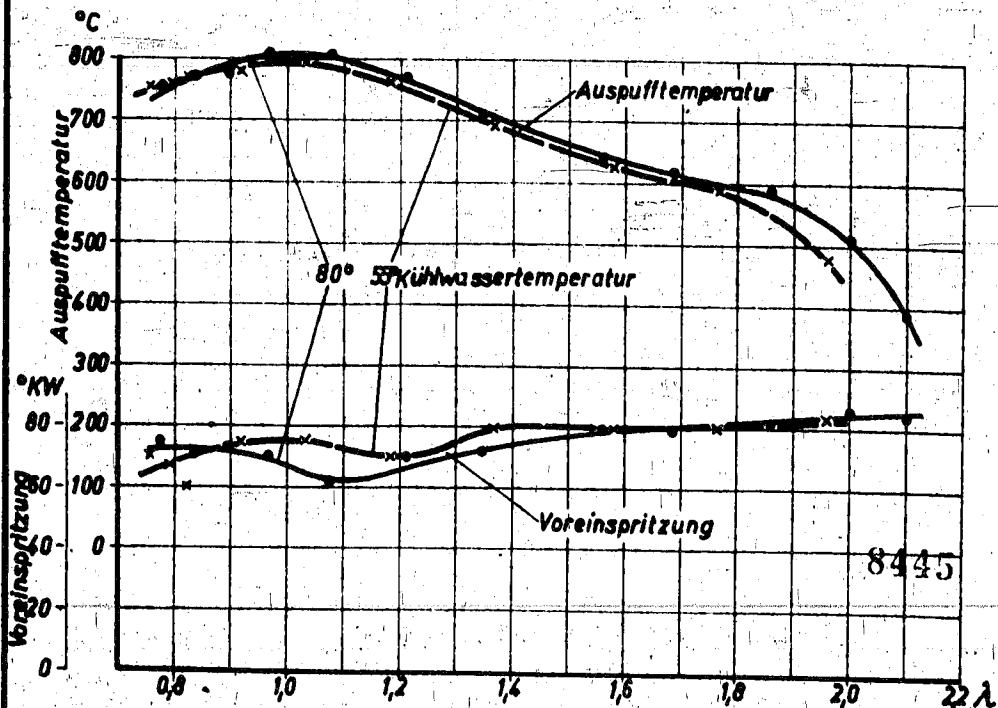
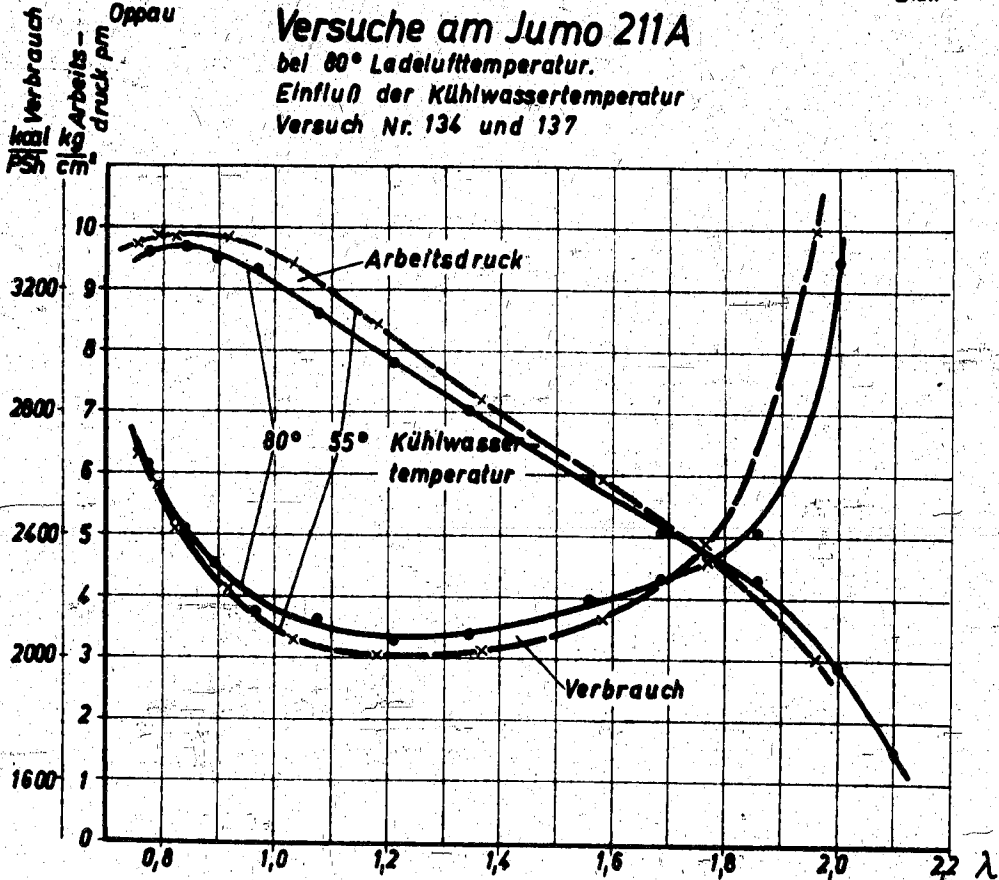
Arbeits-
druck
pm



8444

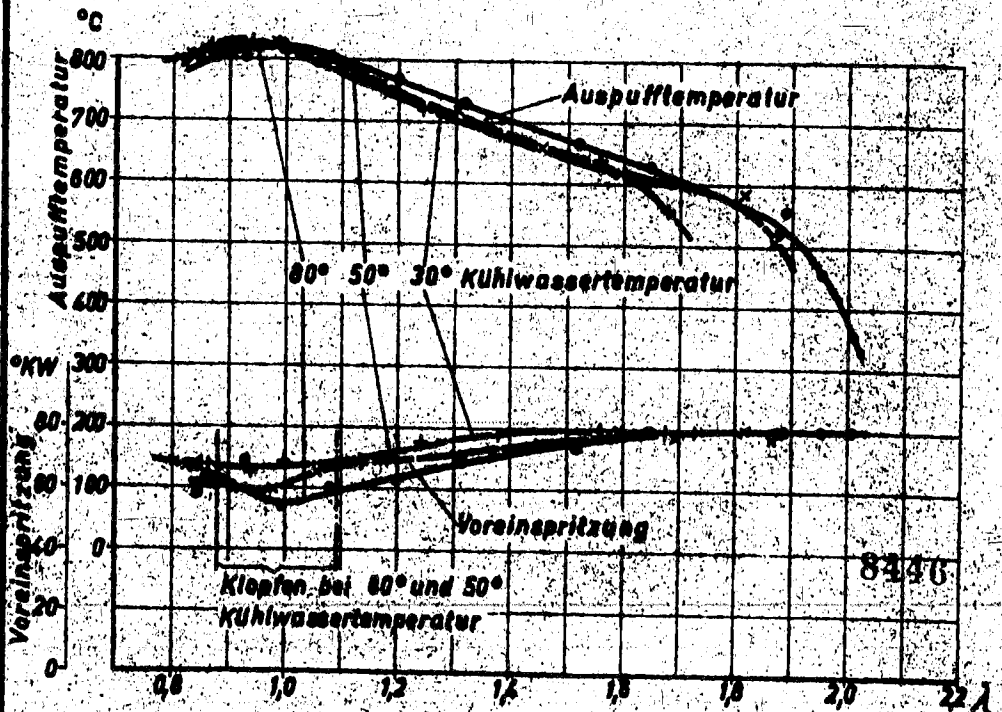
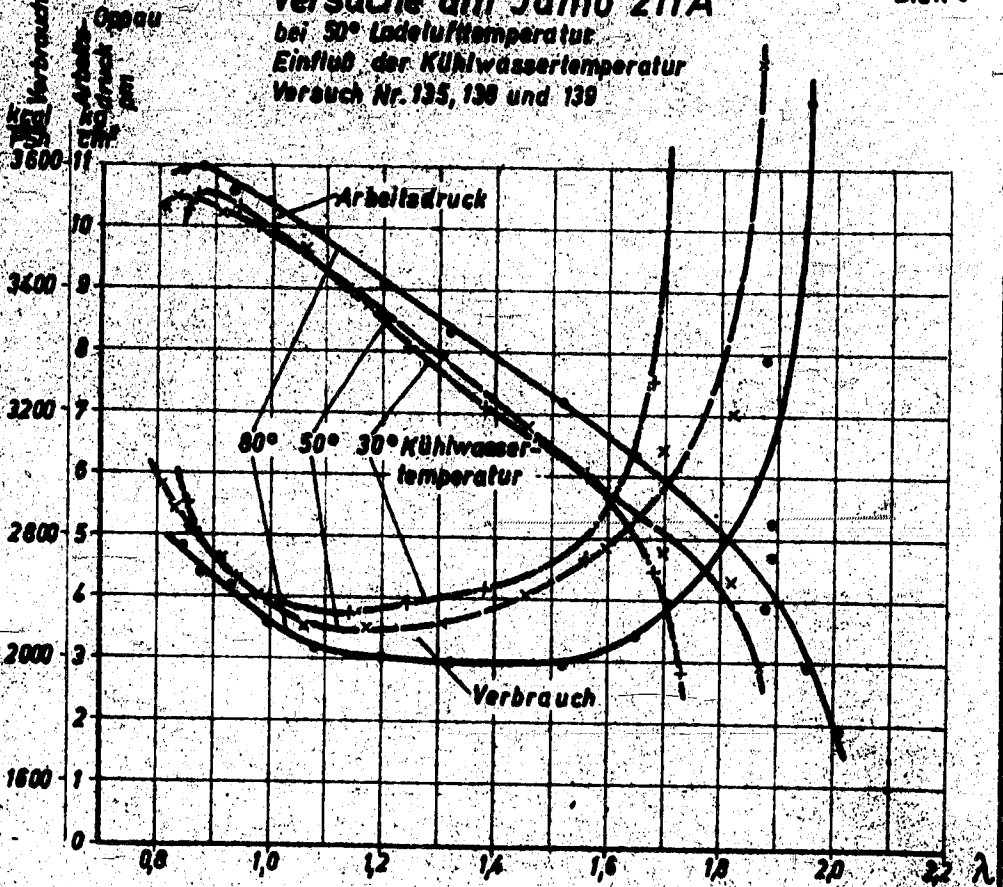
Versuche am Jumo 211A

bei 80° Ladelufttemperatur.
Einfluß der Kühlwassertemperatur
Versuch Nr. 134 und 137



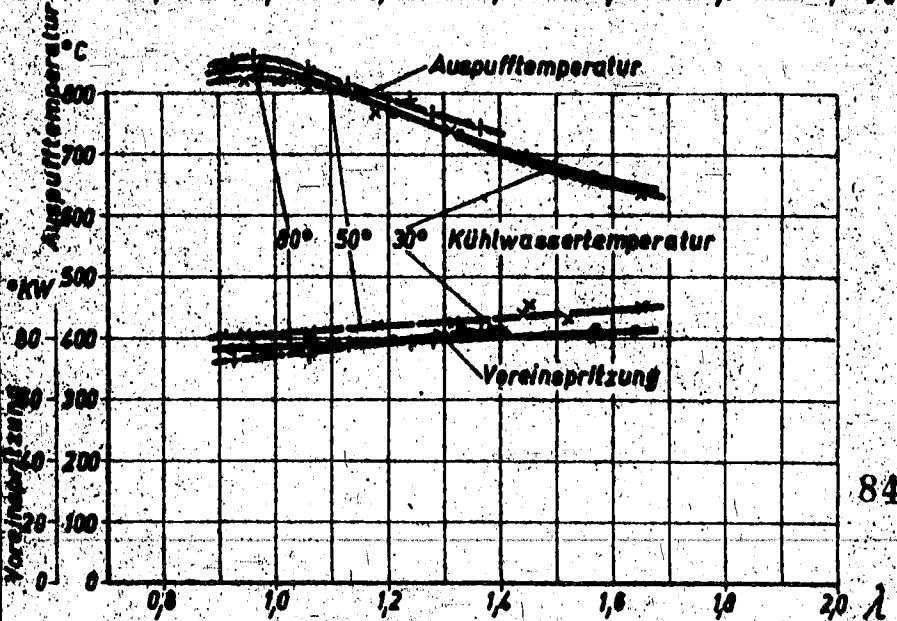
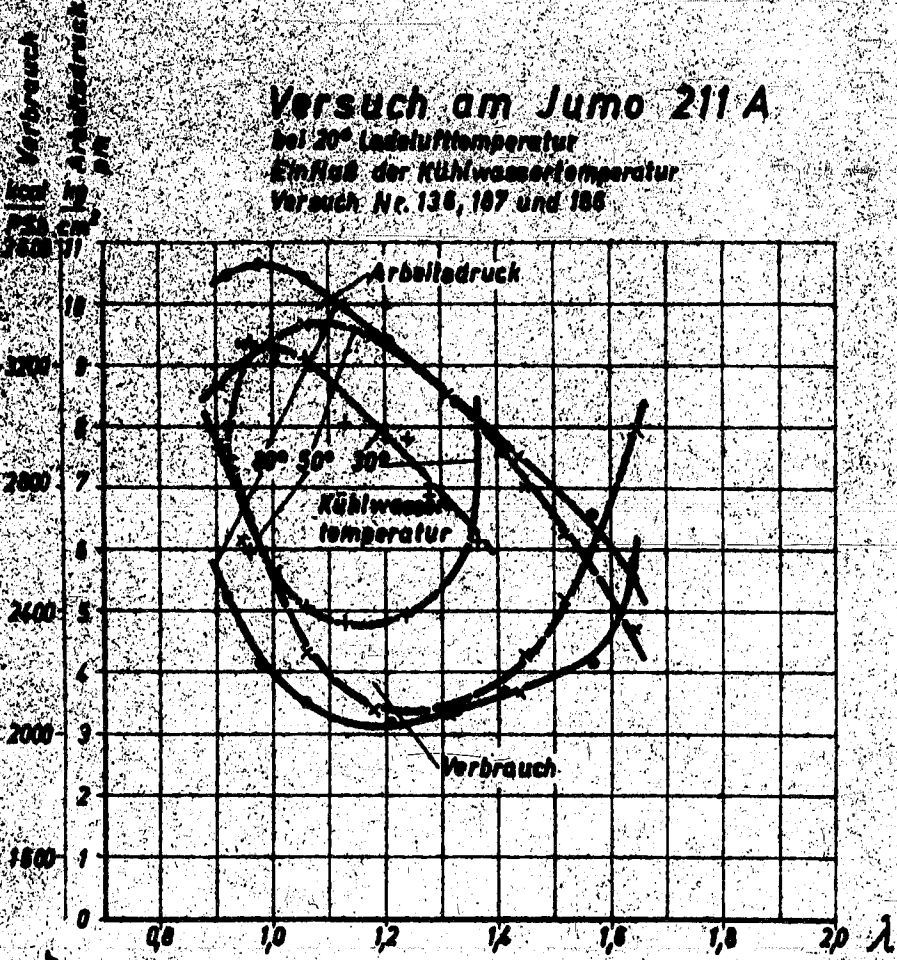
Technischer Prüfstand **Versuche am Jumo 211A**

bei 50° Ladelufttemperatur
 Einfluß der Kühlwassertemperatur
 Versuch Nr. 135, 136 und 139



Versuch am Jumo 211 A

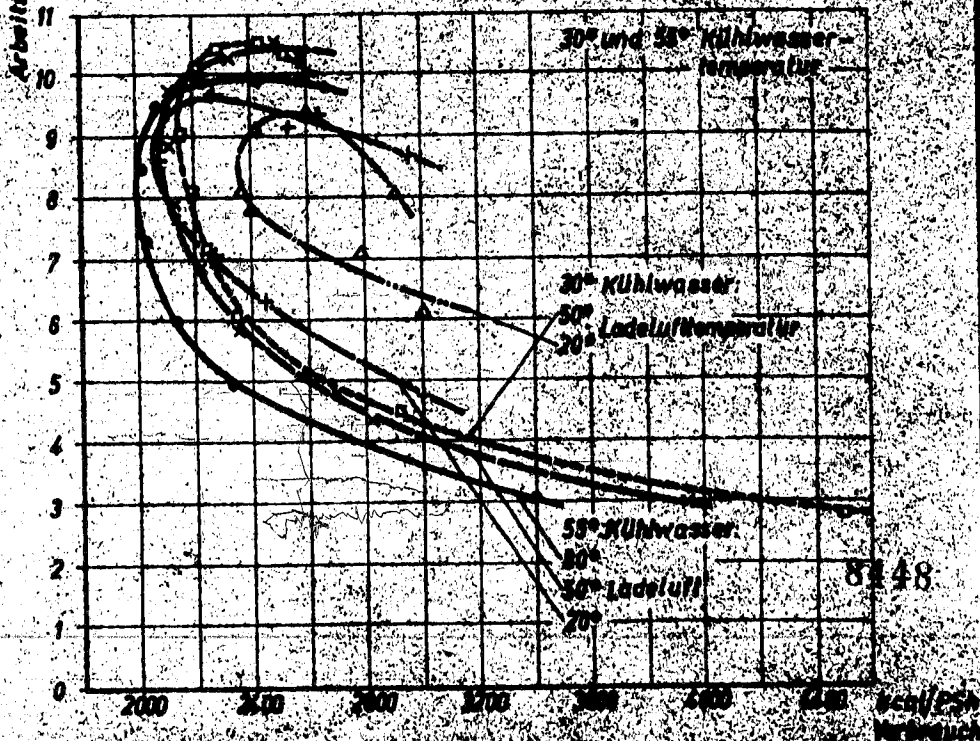
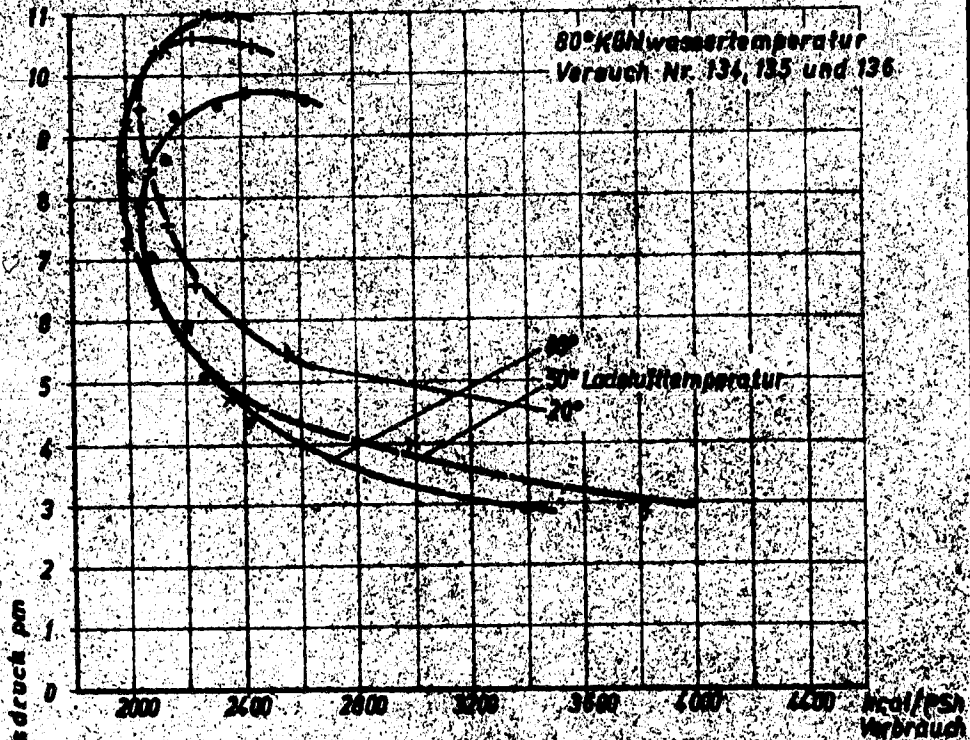
bei 20° Ladelufttemperatur
Einfluß der Kühlwassertemperatur
Versuch Nr. 136, 167 und 186



8447

Versuche am Jumo 211A

kg/cm²



Versuche am Jumo 211A
bei 80° Kühlwassertemperatur
Einfluß der Öltemperatur

